

УДК 533.6:628.5

МОДЕЛИРОВАНИЕ ОТРЫВНЫХ ТЕЧЕНИЙ ВБЛИЗИ ВСАСЫВАЮЩЕЙ ЩЕЛИ

И. Н. Логачев¹, К. И. Логачев¹, В. Ю. Зоря¹, О. А. Аверкова¹

Экспериментально, аналитически и численно определены закономерности распределения скоростей на входе в щелевое всасывающее отверстие. Найдена зависимость коэффициента местного сопротивления, скорости срыва струи и линии отрывного течения в зависимости от длины козырька, установленного на входе во всасывающее отверстие. Работа выполнена при финансовой поддержке РФФИ (код проекта 08-08-13687-офи_ц) и международной обменной программы Fulbright.

Ключевые слова: эксперимент, метод конформных отображений, метод дискретных вихрей, RANS, аспирационное укрытие.

Использование теории аналитических функций, в частности конформных отображений, плодотворно сказалось на исследованиях плоских потенциальных течений. Классические задачи движения всасывающего потока воздуха у щелевых отверстий привлекали авторов статьи как в ранних [1, 2], так и в более поздних работах [3, 4]. Неослабевающий интерес к аэродинамике всасывающих щелевидных отверстий объясняется не только практической значимостью для прикладных задач промышленной вентиляции, но и неудовлетворенностью тем, что в большинстве случаев практическое использование находят лишь простейшие математические модели точечного и линейного стоков, дающие неплохие результаты в достаточно удаленных областях всасывающего факела. Работ, посвященных исследованию течений в непосредственной близости от всасывающего отверстия и тем более экспериментальных исследований, а также их сопоставлений с результатами теоретических моделей, по нашему мнению, крайне мало.

По-видимому, этим и объясняется недостаточный интерес практиков к результатам многочисленных исследований теоретических моделей.

Целью настоящей статьи является численное и экспериментальное исследование отрывного течения на входе в щелевидное всасывающее отверстие, снабженное козырьком.

1. Расчет течения методом конформных отображений (МКО). Рассмотрим одну из плодотворных моделей отрывных течений, нашедших широкое применение не только в задачах истечения идеальной жидкости, но и в практической оценке аэродинамического сопротивления перетеканию воздуха через отверстия. Она дает возможность четкого описания границ отрывного течения, используемых при определении степени сужения истекающей струи и связанного с ним величины потерь давления и расхода перетекаемого воздуха.

Пусть бесконечно широкая горизонтальная труба высотой $2B$ выдвинута на расстояние S от вертикальной стенки. Ось трубы направлена по оси OX физической плоскости комплексной переменной $z = x + iy$. Будем рассматривать верхнюю часть течения в полуплоскости $y \geq 0$. В качестве параметрической будем использовать верхнюю полуплоскость комплексной переменной $t = x_1 + iy_1$. Соответствие точек этих областей, как и областей изменения искомым функции Жуковского $\omega = \ln \frac{u_\infty}{u} + i\theta$ и функции комплексного потенциала $w = \varphi + i\psi$, изображены на рис. 1. Здесь u_∞ — величина скорости на “свободной” линии тока CD , u — величина скорости в произвольных точках рассматриваемой области четырехугольника $ADCBA$ физической области $\text{Im}(z) \geq 0$. Четырехугольник имеет две вершины в бесконечности: точка A , в которой помещен линейный источник интенсивностью q , и точка D , где помещен сток той же мощности. Таким образом, областью изменения комплексного потенциала является полоса, ограниченная линиями тока $\psi = 0$, $\psi = q$ и эквипотенциальными линиями на бесконечности $\varphi = \pm\infty$, а областью изменения функции Жуковского — полуполоса с вырезом по лучу MA ($\theta = -\pi/2$), ограниченная горизонтальными линиями $\theta = 0$ и $\theta = -\pi$ (θ — угол между положительной осью OX и направлением вектора скорости \mathbf{u}).

Найдем конформное отображение верхней полуплоскости $\text{Im}(t) > 0$ на внутренность области изменения ω (внутренность пятиугольника $ADCBA$ с двумя вершинами в бесконечности).

¹ Белгородский государственный технологический университет им. В. Г. Шухова, ул. Костюкова, 46, 308012, г. Белгород; И. Н. Логачев, профессор, e-mail: kilogachev@intbel.ru; К. И. Логачев, профессор, e-mail: kilogachev@intbel.ru; В. Ю. Зоря, аспирант, e-mail: violetta.zorya@mail.ru; О. А. Аверкова, доцент, e-mail: olga_19572004@mail.ru

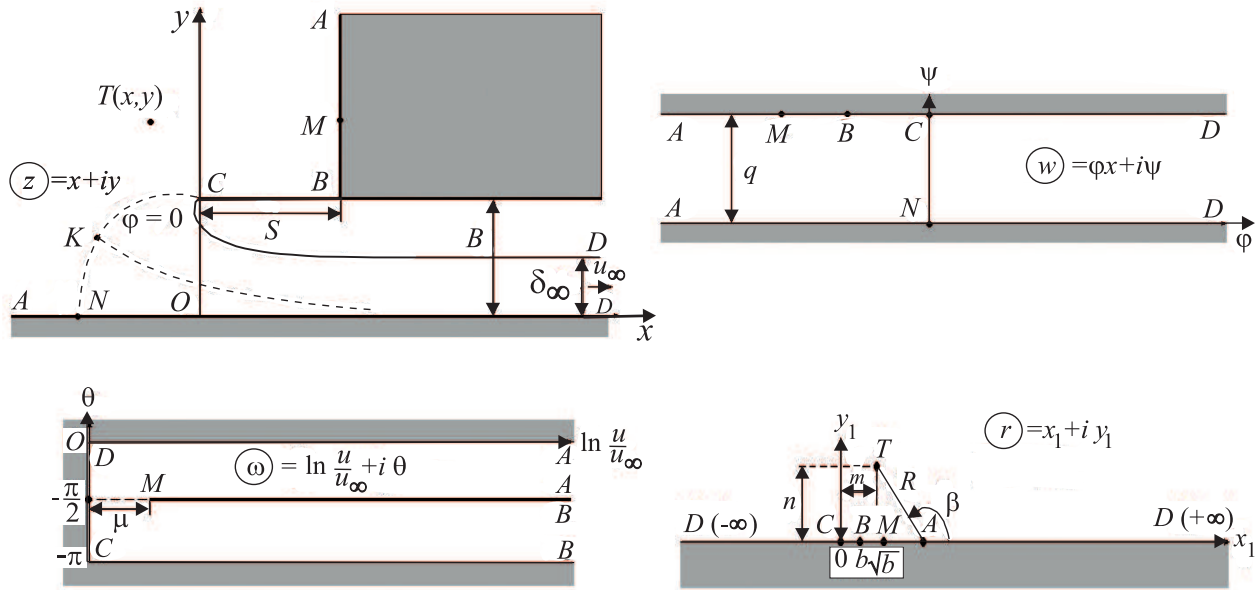


Рис.1. К определению отрывного течения вблизи выступающей всасывающей щели

Используя интеграл Кристоффеля–Шварца, после несложных преобразований с учетом условия перехода сингулярных точек B и A по полуокружностям $t = b + \varepsilon_b e^{i\alpha}$ и $t = 1 + \varepsilon_\alpha e^{i\alpha}$ ($\varepsilon_b \rightarrow 0, \varepsilon_\alpha \rightarrow 0, \alpha = \pi, \dots, 0$) и с учетом соответствия точек C и M найдем искомую функцию Жуковского $\omega = \frac{1}{2} \ln \left(\frac{\sqrt{t} + \sqrt{b}}{\sqrt{t} - \sqrt{b}} \frac{\sqrt{t} + 1}{\sqrt{t} - 1} \right) = \ln \left(\frac{\sqrt{t} + \sqrt{b}}{\sqrt{t} - \sqrt{b}} \frac{\sqrt{t} + 1}{\sqrt{t} - 1} \right)$ и определим параметр

$$\mu = \ln \frac{1 + b^{1/4}}{1 - b^{1/4}}. \tag{1}$$

Используя те же приемы, найдем функцию комплексного потенциала: $w = \frac{q}{\pi} \ln(t-1)$, описывающего поле скоростей в полуплоскости $\text{Im}(t) > 0$, индуцируемое линейным источником в точке A . Имея в виду, что $z = \frac{1}{u_\infty} \int_{t_k}^t e^{\omega(t)} \frac{dw}{dt} dt + z_k, v = \frac{dw}{dz} = u_\infty e^{-\omega(t)}$, используя найденные функции ω и w и приняв в качестве реперной точку $C(t_k = 0; z_k = Bi)$, получим параметрическое решение задачи:

$$z = \frac{\delta_\infty}{\pi} \int_0^T \frac{\sqrt{t} + \sqrt{b}}{\sqrt{t-b}} \frac{\sqrt{t} + 1}{(t-1)^{3/2}} dt + i, \tag{2}$$

$$v = u_x - iu_y = \frac{\sqrt{T-b}}{\sqrt{T} + \sqrt{b}} \frac{\sqrt{T-1}}{\sqrt{T} + 1}, \tag{3}$$

дающее возможность построить гидродинамическую сетку ($\psi = 0, \dots, 1 = \text{const}; \varphi = -\infty, \dots, \infty = \text{const}$) и поле скоростей $u_x = \text{Re}(v), u_y = \text{Im}(v)$.

Здесь и далее линейные размеры отнесены к полувысоте щели B , а скорости – к скорости u_∞ ; δ_∞ – безразмерная полувысота струи при $t \rightarrow \infty$ (в точке D), $T = m + in$ – произвольная точка верхней полуплоскости $\text{Im}(t) > 0$ и соответствующая ей в силу (2) точка физической полуплоскости $\text{Im}(z) > 0$, в которой мы определяем проекцию вектора скорости \mathbf{u} .

В точке M , лежащей на луче BA , имеет место максимальная скорость, равная (в силу того, что в этой точке $T \equiv \sqrt{b}, b = 0, \dots, 1$)

$$u_M = u_y = -\frac{1 - b^{1/4}}{1 + b^{1/4}}. \tag{4}$$

Несложно определить координаты этой точки в физической плоскости:

$$x_M = S = \frac{\delta_\infty}{\pi} \int_0^{b-\varepsilon} \frac{\sqrt{t} + \sqrt{b}}{\sqrt{b-t}} \frac{1 + \sqrt{t}}{(1-t)^{3/2}} dt, \quad (5)$$

$$y_M = 1 + \frac{\delta_\infty}{\pi} \int_{b+\varepsilon}^{\sqrt{b}} \frac{\sqrt{t} + \sqrt{b}}{\sqrt{b-t}} \frac{1 + \sqrt{t}}{(1-t)^{3/2}} dt, \quad \varepsilon \rightarrow 0. \quad (6)$$

Для определения полувысоты струи в бесконечности δ_∞ найдем координаты линии тока CD . Учитывая, что точки этой линии соответствуют точкам отрицательной полуоси OX_1 ($-\infty < t < 0$), на основании (2) запишем систему уравнений

$$x_{CD} = \frac{\delta_\infty}{\pi} \int_0^\eta \frac{(v - \sqrt{b}) dv}{\sqrt{b+v} (1+v)^{3/2}},$$

$$y_{CD} = 1 - (1 + \sqrt{b}) \frac{\delta_\infty}{\pi} \int_0^\eta \frac{\sqrt{v} dv}{\sqrt{b+v} (1+v)^{3/2}}, \quad 0 \leq \eta < +\infty,$$

описывающих координаты линии CD в верхней полуплоскости физической области.

Учитывая, что $y_{DC} \rightarrow \delta_\infty$ при $\eta \rightarrow \infty$, имеем $\delta_\infty = 1 - \frac{\delta_\infty}{\pi} E(b)$, откуда

$$\delta_\infty = \frac{\pi}{\pi + E(b)}, \quad (7)$$

где $E(b)$ — число, зависящее от параметра b :

$$E(b) = (1 + \sqrt{b}) \int_0^\infty \frac{\sqrt{v} dv}{\sqrt{b+v} (1+v)^{3/2}}. \quad (8)$$

С учетом полученного результата на основании (5) можем записать соотношение

$$S = \frac{1}{\pi + E(b)} \int_0^{b-\varepsilon} \frac{\sqrt{t} + \sqrt{b}}{\sqrt{b-t}} \frac{1 + \sqrt{t}}{(1-t)^{3/2}} dt, \quad (9)$$

связывающее длину выступа (козырька) с параметром b .

В частности, при $b = 0$ имеем $E(0) = \int_0^\infty \frac{dv}{(1+v)^{3/2}} = 2$, $\delta_\infty = \frac{\pi}{\pi + 2} \approx 0.611$, $S = 0$, $\mu = 0$,

т.е. случай отрывного течения воздуха у щелевого отсоса, встроенного в плоскую бесконечную стенку. Соотношения для определения поля скоростей и координаты свободной линии тока CD в этом случае намного упрощаются:

$$x + iy = \frac{1}{\pi + 2} \int_0^T \frac{\sqrt{t} + 1}{(t-1)^{3/2}} dt + i = \frac{2}{\pi + 2} \left[\ln \left(\sqrt{T-1} + \sqrt{T} \right) - \frac{1 + \sqrt{T}}{\sqrt{T-1}} \right]; \quad u_x - iu_y = \frac{\pi + 2}{\pi} \frac{\sqrt{T-1}}{\sqrt{T+1}};$$

$$x_{CD} = \frac{2}{\pi + 2} \left[\ln \left(\sqrt{\eta+1} + \sqrt{\eta} \right) - \frac{\sqrt{\eta}}{\sqrt{\eta+1}} \right]; \quad y_{CD} = \frac{2}{\pi + 2} \left[\frac{\pi}{2} + \frac{1}{\sqrt{\eta+1}} \right]; \quad \eta = 0, \dots, \infty.$$

При $b = 1$ будем иметь другой классический случай отрывного течения воздуха у щелевого отсоса в

безграничном пространстве:

$$E(1) = 2 \int_0^{\infty} \frac{\sqrt{v}}{(1+v)^2} dv = \pi, \quad \delta_{\infty} = 0.5; \quad S = \frac{1}{2\pi} \int_0^1 \frac{\sqrt{t}+1}{(1-t)^2} dt \rightarrow \infty, \quad \mu \rightarrow \infty;$$

$$x + iy = \frac{1}{2\pi} \int_0^T \frac{dt}{(\sqrt{t}-1)^2} + i = \frac{1}{\pi} \left[\ln(\sqrt{T}-1) - \frac{\sqrt{T}}{\sqrt{T}-1} \right]; \quad u_x - iu_y = \frac{1}{2} \frac{\sqrt{T}-1}{\sqrt{T}+1};$$

$$x_{CD} = \frac{1}{\pi} \left[\ln \sqrt{\eta+1} - \frac{\eta}{\eta+1} \right]; \quad y_{CD} = \frac{1}{\pi} \left[\pi - \arctg \sqrt{\eta} + \frac{\sqrt{\eta}}{\eta+1} \right], \quad \eta = 0, \dots, \infty.$$

Для общего случая ($b = 0, \dots, 1$; $S = 0, \dots, \infty$) параметры задачи приведены в таблице на основании численного решения равенств (8), (9) и (6), а также расчетов по формулам (1), (4) и (7).

При определении поля скоростей и построении семейства ортогональных кривых $\varphi = \text{const}$, $\psi = \text{const}$ (гидродинамической сетки) возникают некоторые трудности, связанные с нахождением интеграла (2), не выражающегося через элементарные функции (его можно лишь свести к сумме эллиптических интегралов).

В этом случае можно воспользоваться численными методами, полагая, что константы δ_{∞} и b известны при заданном S (например, их можно взять из таблицы или решить уравнение (9) и вычислить δ_{∞} по формуле (7)).

Разделив подинтегральное выражение на действительную и мнимую части, интеграл (2) можно свести к сумме криволинейных интегралов. При этом используется аналитичность подинтегральной функции, обеспечивающей произвольность выбора пути интегрирования между точками $C(0; 0)$ и $T(m; n)$. Лучшим вариантом является интегрирование вначале по окружности (с центром в точке $t = 1$) радиусом $r = 1$ от точки C до пересечения с лучом AT , а затем по этому лучу от точки пересечения до заданной точки T .

Однако проще использовать пакет универсальной математической среды Maple-9, которая выдает сразу результат численного интегрирования при заданных T , b и δ_{∞} в виде комплексного числа. Этим избавляемся от необходимости громоздких преобразований подинтегрального выражения при разделении его на действительную и мнимую части.

В качестве примера на рис. 2 приведена гидродинамическая картина течения при $S = 0$ и $S = \infty$, построенная при помощи пакета Maple-9. Видно, что наибольшая скорость воздуха наблюдается в области инерционного отрыва потока (точка C) и по "свободной" линии тока CD (здесь наибольшая частота эквипотенциалей $\varphi = \text{const}$).

Чем больше длина выступа, тем больше скорость отрыва струи и меньше ширина струи (рис. 3).

Характер кривой отрыва (линия тока CD) также изменяется от величины S/B (рис. 4), причем существенное изменение происходит в области $S/B = 0, \dots, 0.5$. Выносы траекторий навстречу потоку в области $S/B = 0.5, \dots, \infty$ достаточно близки. Можем заметить, что при $S/B = 0.4, \dots, 0.5$ ширина струи практически мало отличается от предельной ширины δ_{∞} (точнее, существенное изменение скорости отрыва u_{∞} и толщины струи δ происходит лишь в области $S/B = 0.4, \dots, 0.5$). В теории истечения, как известно, в качестве характерной принято сечение, которое удалено на расстояние B от входного отверстия.

2. Экспериментальное исследование. Экспериментальные исследования поля скоростей в непосредственной близости от входного отверстия нами выполнены на опытной установке (рис. 5), рабочей

Основные параметры отрывного течения у выступающей всасывающей щели

b	$E(b)$	$S(b)$	δ_{∞}	$W(b)$	$\mu(b)$	u_M	y_M
0.00	2.000	0.0000	0.6110	1.637	0.0000	-1.0000	1.000
0.10	2.477	0.0894	0.5591	1.789	0.8263	-0.2801	1.232
0.20	2.630	0.2146	0.5443	1.837	1.105	-0.1985	1.441
0.30	2.738	0.3874	0.5344	1.871	1.347	-0.1494	1.689
0.40	2.822	0.6307	0.5268	1.898	1.586	-0.1140	2.008
0.50	2.893	0.9872	0.5206	1.921	1.838	-0.08643	2.446
0.60	2.954	1.544	0.5154	1.940	2.121	-0.06377	3.093
0.70	3.008	2.504	0.5109	1.957	2.461	-0.04455	4.164
0.80	3.056	4.489	0.5069	1.973	2.914	-0.02789	6.294
0.90	3.101	10.62	0.5033	1.987	3.650	-0.01317	12.66

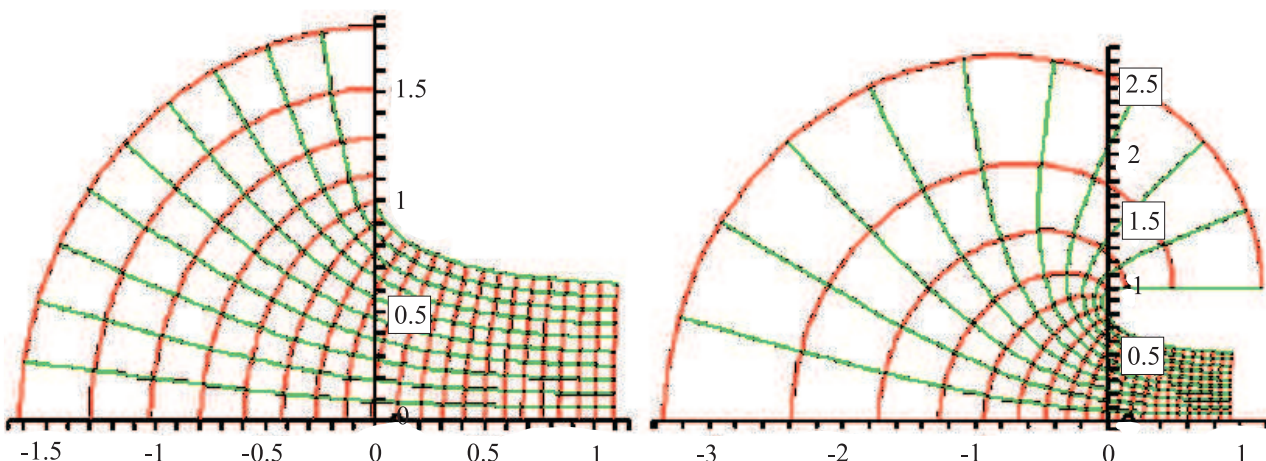


Рис. 2. Линии тока и эквипотенциали на входе во всасывающее отверстие:
а) встроенное в плоскую стенку; б) с козырьком

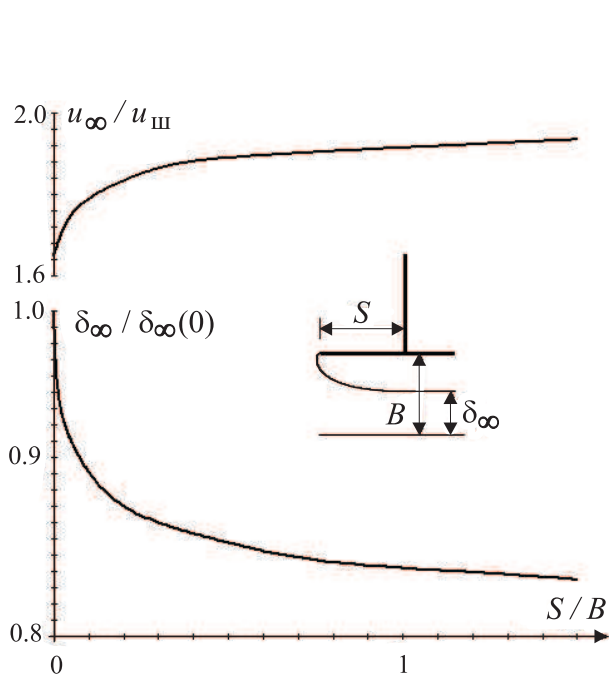


Рис. 3. Изменение скорости срыва потока и ширины струи в бесконечности в зависимости от длины выступа S ($\delta_\infty(0) = \delta_\infty$ при $S \rightarrow 0$, $u_{ш}$ — средняя скорость воздуха в щели)

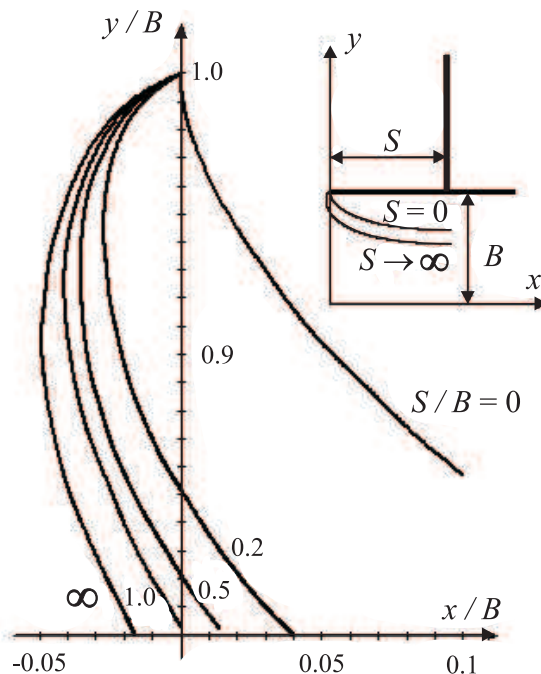


Рис. 4. Теоретические кривые отрыва струйного течения вблизи вытяжного отверстия при изменении длины выступа

частью которой являлся канал, образованный двумя вертикальными плоскостями 500×500 мм (из оргстекла толщиной 8 мм) и двумя горизонтальными полосами из оцинкованного листового железа (толщиной 0.55 мм). Расстояние между плоскостями, как и между полосами, составляло 100 мм. Общая длина нижней полосы равна 600 мм (причем на 100 мм входила вовнутрь примыкающей камеры статического давления). Верхняя, длиной 100 мм, была прикреплена к вертикальной стенке камеры и к вертикальным плоскостям и образовывала выступ канала (с поперечным сечением 100×100 мм). Вертикальные плоскости были продолжены вовнутрь камеры статического давления на расстоянии 100 мм (как и нижняя стенка канала). Таким образом, рабочая часть установки была максимально приближена к модели плоских задач течения вблизи вытяжного отверстия.

Измерения поля скоростей проводили в вертикальной плоскости, проходящей через ось симметрии канала, термоанемометром testo-425 (с погрешностью $\pm(0.03+0.05u)$ м/с). Скорость автоматически усреднялась в интервале времени измерений $\Delta t = 20 \div 25$ сек. (при этом в автоматическом режиме осуществ-

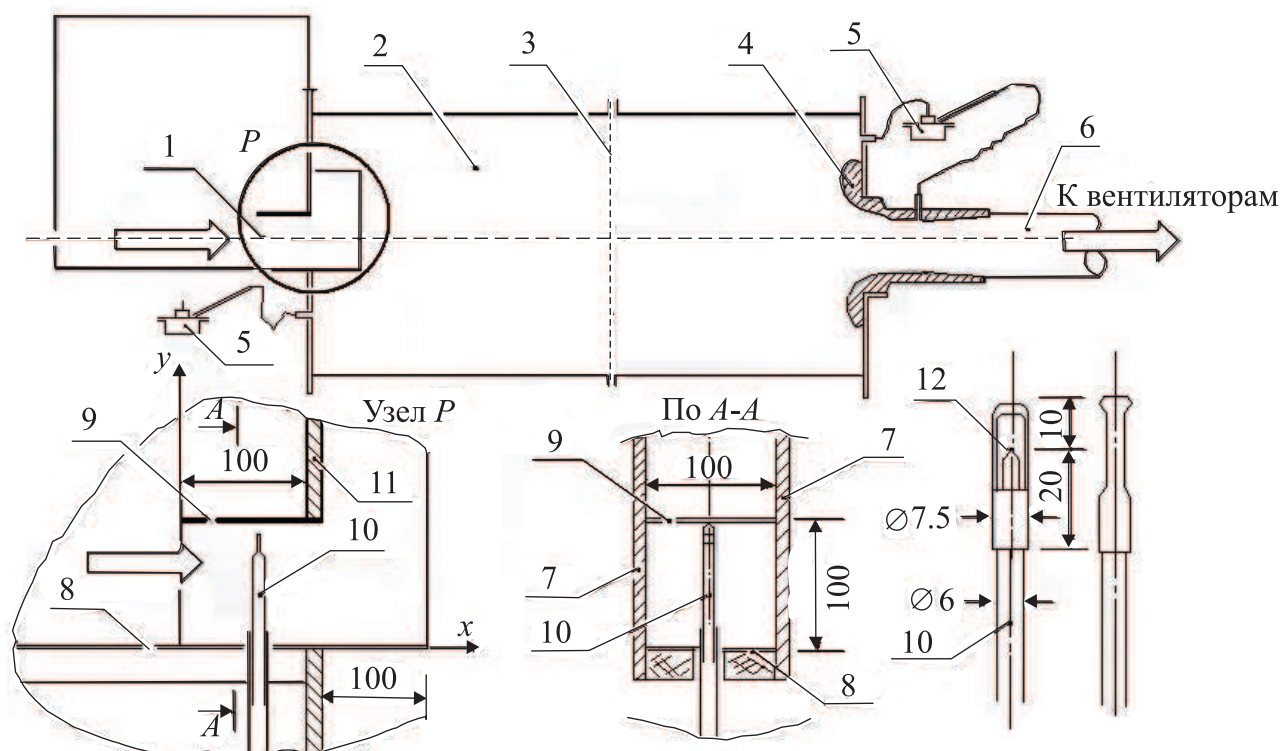


Рис. 5. Опытная установка для исследования поля скоростей вблизи всасывающей щели: 1 — всасывающее отверстие; 2 — камера статического давления (500 × 500 × 1100 мм); 3 — перегородка; 4 — измерительный коллектор (Ø = 112 мм); 5 — микроманометры ММН-2400; 6 — воздуховод (Ø = 125 мм); 7 — вертикальные плоскости; 8 — горизонтальная полоса (100 × 600 мм, δ = 0.55 мм); 9 — выступ (козырек, 100 × 100 мм, δ = 0.55 мм); 10 — зонд термоанемометра testo-425 (Ø = 6/7.5 мм); 11 — вертикальная стенка камеры статического давления; 12 — датчик скорости

лялось около 50 измерений скорости в заданной точке). Определение расхода воздуха, отсасываемого из герметичной камеры статического давления двумя последовательно соединенными вентиляторами (ВКМ 150 фирмы Вентс и ЕХ-18 4с фирмы Systemair), осуществлялся с помощью коллектора и микроманометра ММН-2400. Для исключения деформации потока на входе в коллектор камера статического давления оснащена перегородкой из фильтровальной ткани.

Характерная скорость определялась из уравнения расхода $q = u_{щ}^* B^* = u_{\infty}^* \delta_{\infty}^*$; $u_{\infty}^* = u_{щ}^* / \delta_{\infty}^*$, где $u_{щ}^*$ — средняя скорость в щели; q — удельный расход воздуха, определяемый при измеренном с помощью микроманометра перепаде статических давлений в коллекторе Δp (Па). В нашем случае (при длине щели

0.1 м) эти величины определялись в виде $q = \frac{S_k}{0.1} \sqrt{\frac{2\Delta p}{(1 + \zeta_k)\rho}} = 0.0507 \sqrt{\frac{\Delta p}{\rho}} \frac{\text{м}^3}{\text{с} \cdot \text{м}}$;

$$u_{щ}^* = 0.507 \sqrt{\frac{\Delta p}{\rho}} \text{ м/с}, \quad (10)$$

где S_k — площадь замерного сечения коллектора (в нашем случае $S_k = 0.112^2 \pi / 4 = 0.00985 \text{ м}^2$), ρ — плотность воздуха (кг/м^3) и $\zeta_k = 0.073$ — коэффициент местного сопротивления коллектора.

Точность измеренных продольных составляющих в вертикальных сечениях щели проверялась графическим интегрированием и сопоставлением полученного среднего значения скорости $u_{щ}^*$ с расчетами по формуле (10). Погрешность не превышала 2–3%.

3. Результаты расчета и их обсуждение. В качестве характерных были выбраны четыре вертикальных сечения струи в отсасывающей щели (на расстоянии $x/B = 0.05$; 0.3; 0.55 и 0.8 от входного сечения соответственно) и три горизонтальных сечения: под козырьком ($y/B = 0.8$), на уровне козырька ($y/B = 1$) и над козырьком ($y/B = 1.2$). С шагом $0.1B$ в первом случае измерялась горизонтальная состав-

ляющая вектора скорости (u_x), во втором — вертикальная (u_y). Результаты приведены на рис. 6–8, где сплошными линиями нанесены результаты расчетов в среде Maple-9 по формулам (2) и (3) при $S/B = 1.0$ ($b = 0.50286$, $\delta_\infty = 0.520474$).

Для сопоставления на рисунках приведены эпюры скоростей, полученные методом дискретных вихрей (МДВ) [4, 8, 9] и путем решения осредненного по времени уравнения Навье–Стокса (Reynolds Averaged Navier–Stokes — RANS [9, 10]) с использованием программы Fluent. Как видно из этих результатов, теоретическое описание поля скоростей моделями отрывных течений с достаточной для практики точностью описывает характер изменения составляющих скоростей, кроме областей вблизи отрыва струи и на ее свободной границе (CD). Здесь имеет место развитая турбулентность и в силу этого, по-видимому, нарушается потенциальность течения. Так, в вертикальных сечениях канала вблизи линии CD (рис. 6 и 7) замечен четко выраженный характер пограничного слоя перемешивания с резким изменением горизонтальной составляющей скорости и заметным отклонением экспериментальных величин от теоретических по мере удаления замерных сечений от входа воздуха в канал.

Теоретическая величина u_x превышает опытную в силу того, что истинная толщина выше теоретической δ . Мертвая зона (между CB и CD) заполнена движущимся потоком, хотя и с малыми скоростями. Естественно, что в этом случае скорость в границах теоретической струи отрыва будет меньше.

Что касается качественной стороны, экспериментальные данные хорошо согласуются с теоретическими. Продольные скорости увеличиваются в каждом сечении к границе CD , зона максимума (как и линия CD) удаляется от козырька. Мертвая зона заполнена потоком, скорость которого значительно меньше скорости в границах струи (между линиями CD и AD).

В горизонтальных сечениях наибольшее отклонение от теоретических наблюдается также вблизи точки срыва, хотя качественный характер изменения вертикальной составляющей скорости хорошо согласуется с опытными: наибольшая величина u_y как по опытными, так и по теоретическим исследованиям методами МКО и МДВ имеет место в области точки C (рис. 8). Чем дальше от точки C , тем ближе величина измеренной u_y к теоретически рассчитанной. На удалении $0.5, \dots, 0.8B$ отклонения не превышают погрешности измерений. Заметим, что в области C метод RANS дает значения, близкие к нулю.

Таким образом, можно считать, что модель потенциальных отрывных течений адекватно описывает характер течений практически во всей области всасывающего факела. Некоторая условность в существовании “обрыва” течений на свободной границе CD не мешает широкому использованию поджатия струи (а именно, δ_∞) в практике определения потерь давления. Основной причиной потерь энергии при входе в отверстие несомненно является шибиряющий эффект потока, срываемого со стенок, примыкающих к этому отверстию. Чем больше длина этих стенок (козырьков, уступов), тем больше скорость срыва и тем выше интенсивность потока, подтекаемого к отверстию, и, как следствие, тем выше потери давления.

Покажем это на двух характерных примерах: вход воздуха в плоскую трубу и истечение его из плоской трубы через диафрагму. Выбор этих примеров обусловлен наличием экспериментальных данных, полученных И. Е. Идельчиком [6]. Величину инерционности будем характеризовать разностью скоростей на свободной поверхности (скорость срыва) и средней скорости в щелевом отверстии: $\Delta u = \frac{u_\infty^* - u_{щ}^*}{u_{щ}^*} \equiv$

$w(b) - 1$; $w(b) = \frac{u_\infty^*}{u_{щ}^*} = \frac{1}{\delta_\infty^*(b)}$. Для определения теоретического коэффициента сжатия струи $\delta_\infty = \delta_\infty^*/B^*$ (величины δ_∞^* и B^* размерны, о чем свидетельствует верхний индекс “*”) в случае входа в плоскую трубу

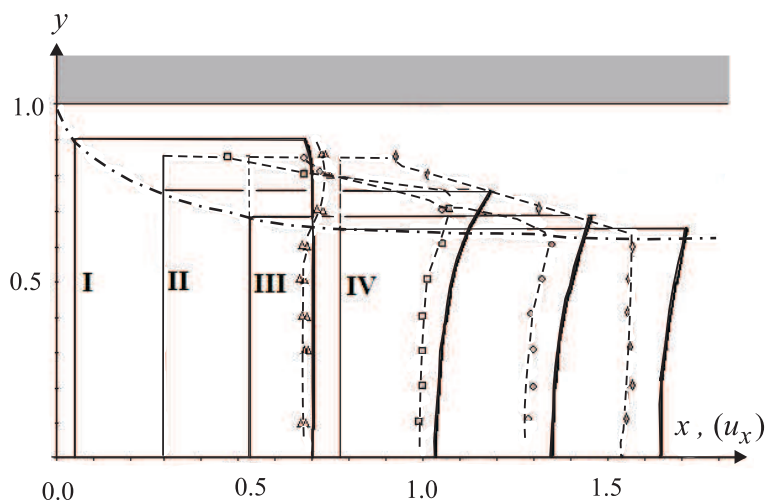


Рис. 6. Изменение продольной составляющей скорости по высоте плоского канала при $S = 0$ (штрих-пунктирная линия — линия тока $\psi = q$; на эпюрах сплошные линии — теория, пунктирные — эксперимент; I, II, III, IV — эпюра скоростей в сечениях $x = 0.05$; $x = 0.3$; $x = 0.55$; $x = 0.8$)

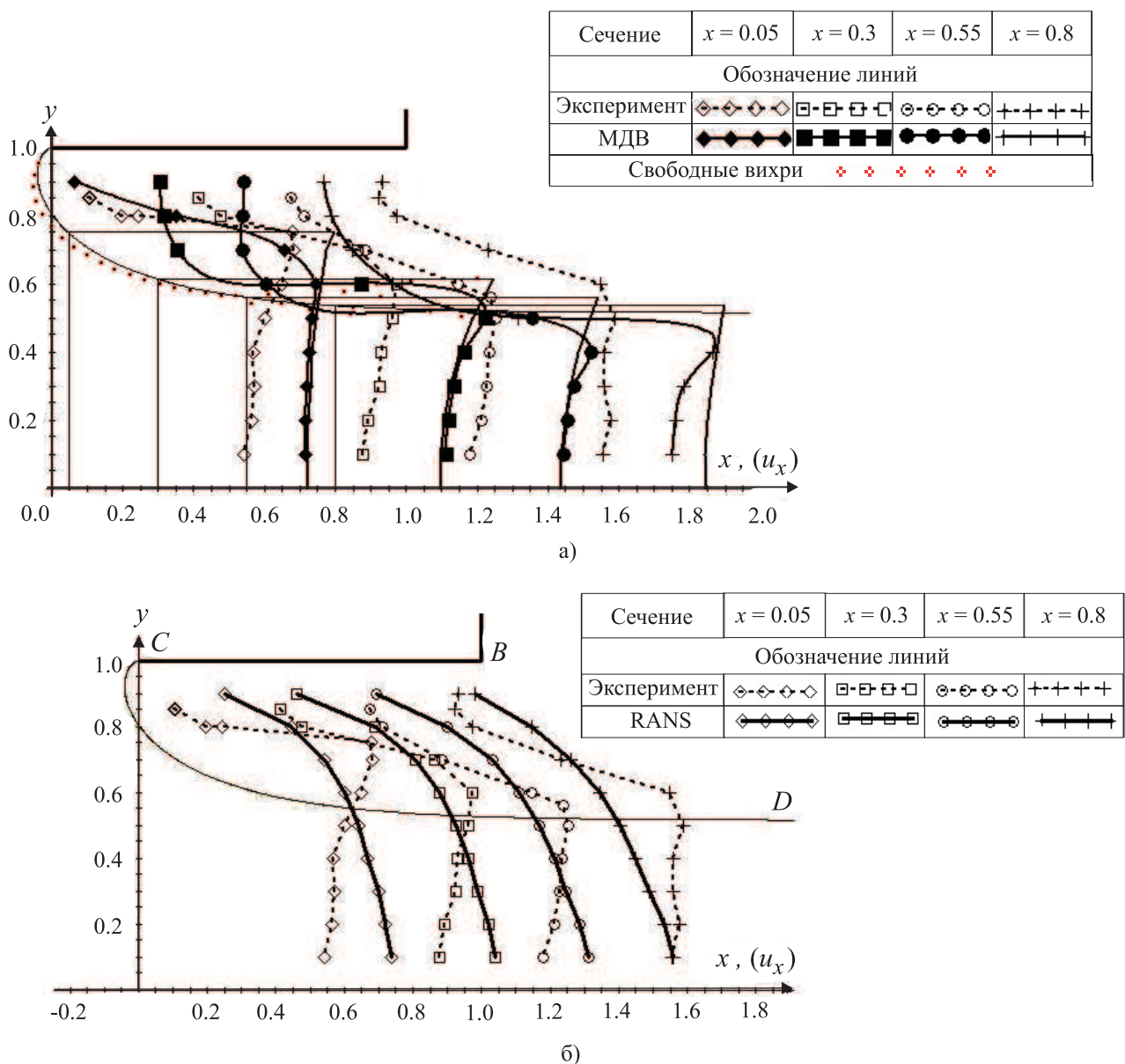


Рис. 7. Измерение продольной скорости воздуха по высоте плоского канала, оснащенного козырьком единичной длины

воспользуемся данными таблицы, а для оценки степени сжатия потока при истечении через диафрагму используем результаты теоретических исследований Н. Е. Жуковского (1897 г.) и Р. Мизеса (1917 г.), описанные в работах [7, 5]:

$$\delta_{\infty} \equiv \frac{\delta_{\infty}^*}{B^*} = \frac{\pi}{\pi + 2 \frac{2\alpha}{\operatorname{tg} 2\alpha}}; \quad n = \frac{B^*}{L^*} = \frac{\operatorname{tg} \alpha}{\delta_{\infty}}.$$

Отсюда получим, что $S \equiv \frac{S^*}{B^*} = \frac{1}{n} - 1 = \frac{\delta_{\infty}}{\operatorname{tg} \alpha} - 1$, где α — параметр, $0 \leq \alpha \leq \frac{\pi}{4}$. Этот параметр может быть исключен, что дает возможность получить непосредственную связь δ_{∞} и n (или S) в виде трансцендентного уравнения

$$\delta_{\infty} = \frac{\pi}{\pi + 2A}, \quad (11)$$

где $A = A_n$ — функция от δ_{∞} и n : $A_n = \left(\frac{1}{n\delta_{\infty}} - n\delta_{\infty} \right) \operatorname{arctg}(n\delta_{\infty})$ или от δ_{∞} и S :

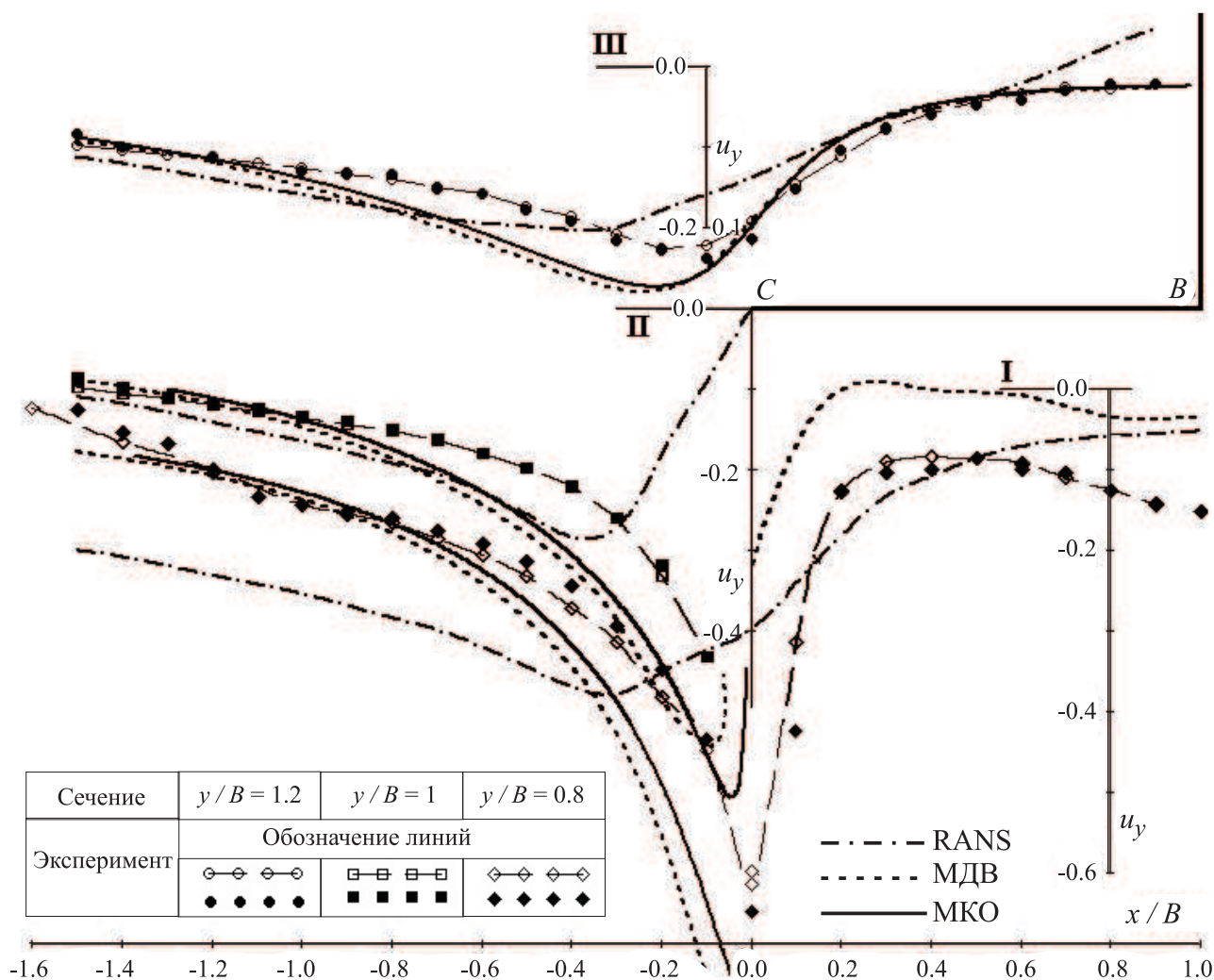


Рис. 8. Изменение вертикальной составляющей скорости вблизи входного отверстия всасывающей щели, оснащенной козырьком (CB) единичной длины; на эпюрах сплошные линии — теория; кружочки, ромбики, квадратики — эксперимент; I, II, III — эпюры скоростей в сечениях $y/B = 0.8; 1; 1.2$ соответственно

$$A = A_S = \left(\frac{S+1}{\delta_\infty} - \frac{\delta_\infty}{S+1} \right) \operatorname{arctg} \left(\frac{\delta_\infty}{S+1} \right). \tag{12}$$

Легко убедиться, что при $S = 0$ ($n = 1$) коэффициент сжатия струи $\delta_\infty = 1$ (никакого сжатия не происходит), а при $S \rightarrow \infty$ ($n = 0$) функция $A = 1$, $\delta_\infty = 0.611$ (случай истечения через отверстия в безграничной стенке).

Как видно из рис. 9 и 10, с увеличением длины прямолинейной стенки перед истечением струи растет относительная скорость срыва Δu , причем характер этого роста согласуется с изменением коэффициента местного сопротивления. Это обстоятельство позволяет надеяться, что используемый физический критерий найдет широкое применение при анализе величины потерь давления в сложных условиях подтекания воздуха к вытяжному отверстию.

4. Выводы.

1. Модель потенциальных отрывных течений адекватно описывает большую часть реального всасывающего факела плоской щели. Заметные отклонения теоретического поля скоростей от экспериментального наблюдаются лишь в области срыва струи и на ее свободной границе. Вдоль свободной границы струи в канале наблюдается развитый пограничный слой с большим поперечным градиентом продольных скоростей.

2. Степень сжатия поперечного сечения струи в канале определяется инерционностью потока воздуха,

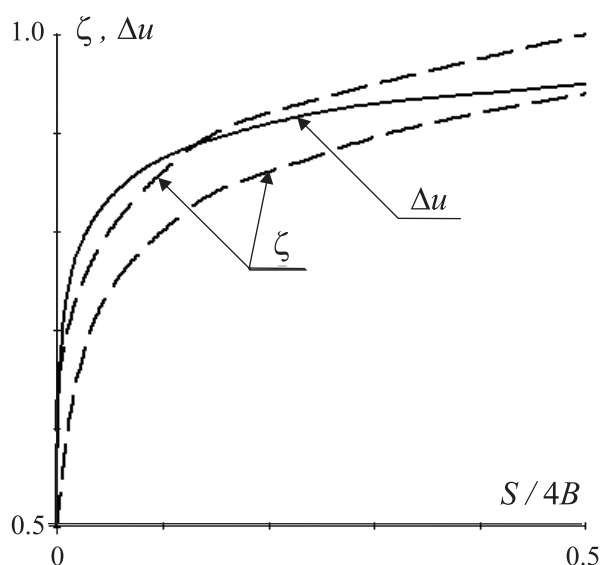


Рис. 9. Изменение коэффициента местного сопротивления при входе в плоскую трубу (ζ) и скорости срыва струи (Δu) с увеличением длины выступа ($S/4B$): сплошная линия построена по теоретическим данным (значения в таблице); пунктирные — экспериментальные данные И. Е. Идельчика (кривая 1 — при относительной толщине стенки трубы $\delta/D_T = 0$; кривая 2 — при $\delta/D_T = 0.004$)

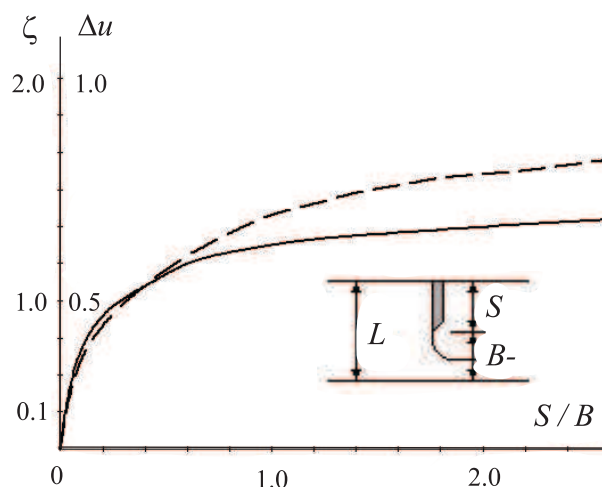


Рис. 10. Изменение коэффициента местного сопротивления при входе в плоскую диафрагму (ζ) и скорости срыва струи (Δu) с увеличением высоты ступеньки (S/B): сплошная кривая построена по уравнениям (11) и (12), пунктирная — экспериментальные данные И. Е. Идельчика

подтекаемого вдоль плоских поверхностей на входе во всасывающую щель. Чем больше путь разбега этого потока, тем выше скорость его срыва и тем больше проявляется шибирующий эффект на входе воздуха в отверстие. Характер изменения относительной скорости срыва струи практически совпадает с экспериментально установленной закономерностью изменения коэффициента местного сопротивления в зависимости от длины выступов, примыкающих к отверстию.

СПИСОК ЛИТЕРАТУРЫ

1. *Логачев И.Н.* К расчету двухбортовых отсосов // Вентиляция в металлургической промышленности. М.: Металлургия, 1968. 88–92.
2. *Логачев И.Н.* Потенциальное движение воздуха у всасывающей щели // Вентиляция и очистка воздуха. М.: Недра, 1969. 143–150.
3. *Логачев К.И.* Аэродинамика всасывающих факелов. Белгород: Изд-во БелГТАСМ, 2000.
4. *Логачев И.Н., Логачев К.И.* Аэродинамические основы аспирации. Санкт-Петербург: Химиздат, 2005.
5. *Альтшуль А.Д., Киселев П.Г.* Гидравлика и аэродинамика. М.: Стройиздат, 1975.
6. *Идельчик И.Е.* Справочник по гидравлическим сопротивлениям. М.: Машиностроение, 1975.
7. *Гуревич М.И.* Теория струй идеальной жидкости. М.: Физматлит, 1961.
8. *Лифанов И.К.* Метод сингулярных интегральных уравнений и численный эксперимент. М.: Янус, 1995.
9. *Логачев К.И., Пузанок А.И., Зоря В.Ю.* Компьютерное моделирование пылегазовых потоков в пульсирующих аэродинамических полях // Вычислительные методы и программирование. 2006. 7, № 2. 65–71.
10. *Аверкова О.А., Зоря В.Ю., Логачев И.Н., Логачев К.И.* К вопросу о моделировании пылегазовых потоков в аспирационном укрытии // Вычислительные методы и программирование. 2009. 10, № 2. 185–190.

Поступила в редакцию
11.01.2010